

2変数差分法による多主析合成斜橋の解析

九州大学工学部 正会員 彦坂 照
 " " 学生員 内谷 保

1. 緒言

現在、合成多主析橋の設計には荷重の横方向分配を考慮することが常識化し、直橋に関するものは直交異方性矩形板理論に基く Guyon-Massonet の方法¹⁾、斜橋に関するものは成岡氏²⁾の差分法による直交異方性平行四辺形板理論解が著名である。これらの方は、主析と床版よりなる合成多主析橋を等厚直交異方性薄板に置換して解析するものであるゆえ、桁高の低い主析を多数並列する形式の橋梁においては実用的で、かつ十分な精度を期待できるが、主析の桁高が高く桁数があまり多くない(したがって主析間隔が大きい)場合には精度的に検討の余地があると思われる。また本論にて取り扱う斜橋では、直橋と異なり支点近傍のねじり挙動に設計上留意すべきであるが、これに大きな影響をおぼす支点上のねじり拘束の効果を従来の差分法(板のたわみだけを未知数とする)では解析できない。本論は、A. Ghali³⁾の提唱する二変数差分法(主析のたわみ、ねじり角を未知数とする)を多主析合成斜橋の解析に拡張応用して上記問題点を解決し、その精度を検討したものである。

2. 基礎方程式

図-1のごとく、N本の主析(P C析、R C析、鋼析など)とそれを直交する横析、および床版よりなる合成斜橋を考える。本論は、かかる橋梁を直交異方性板に置換せず、主析(合成析)を主構造、横析と床版を従構造として解析するもので、斜角を φ 、一般に主析 n と $n+1$ の中心間隔を a_n とする。各主析のスパン l を間隔入でM等分し、左端から1, 2, 3, ..., M+1の差分点番号を付す。

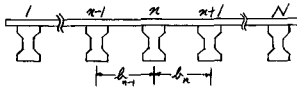


図-2のごとく主析 n と床版よりなる微小長さ λ の合成析を考え、これに作用する外力と内力を次のように定義する。符号は図-1のベクトルの向きを正とする。

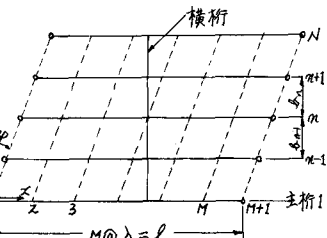


図-1

M_n , T_n , V_n : 合成析断面の曲げモーメント、ねじりモーメント、せん断力

m_n^o , Q_n (m_n^o , Q_{n-1}): 主析 n と $n+1$ (主析 $n-1$ と n)の中間にあける床版単位長当たりの曲げモーメントおよびせん

断力

v_n , t_n : 合成析単位長当たりの鉛直荷重強度およびねじりモーメント荷重強度

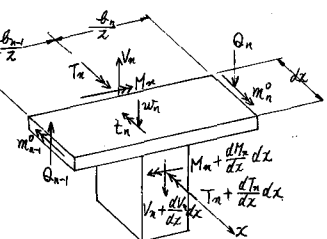


図-2

なお、横析の曲げモーメントとせん断力は床版のそれとに置換し、横析のねじりモーメントは無視する。

図-3より、まず、曲げ剛性 $E I_n$ なる合成析のたわみ曲線 ω の方程式を次式で与えられる。

$$\frac{d^4\omega}{dx^4} = \frac{1}{E I_n} (v_n + Q_n - Q_{n-1}) \quad (1)$$

次に、主析軸に関するねじりモーメントのつり合いより、

$$\frac{dT_n}{dx} = -t_n - \left(m_{n-1}^o + \frac{1}{2} Q_{n-1} B_{n-1} \right) + \left(m_n^o - \frac{1}{2} Q_n B_n \right) \quad (2)_a$$

しかるに、図-3のごとく、主析 $n-1, n, n+1$ の位置にかけた床版の単位長当たりの端モーメントを (m_{n-1}, m_n') , Q_{n-1} , (m_n, m_n') とすれば

$$m_{n-1}^o + \frac{1}{2} Q_{n-1} B_{n-1} = -m_{n-1}', \quad m_n^o - \frac{1}{2} Q_n B_n = m_n$$

式成り立つゆえ式 (2)_a は

$$\frac{dT_n}{dx} = -t_n + m_{n-1}' + m_n \quad (2)_a$$

合成析 n のねじり角を θ_n , ねじり剛性を GJ_n (G はせん断弹性係数) とすれば

$$T_n = GJ_n \frac{d\theta_n}{dx} \quad (3)$$

であるから、式 (2)_a と (3) より次式がえられる。

$$\frac{d^2\theta_n}{dx^2} = -\frac{1}{GJ_n} (t_n - m_{n-1}' - m_n) \quad (4)$$

図-3 の単位長当たりの床版を部材長 b_{n-1} および b_n の変断面直線材と考えたたわみ角式を作れば、

$$\begin{aligned} m_{n-1}' &= S_{n-1} \left\{ B_{n-1} B_{n-1} + B_n - \frac{(1+Y_n)}{b_{n-1}} (Y_{n-1} - Y_{n-1}) \right\}, & Q_{n-1} &= -\frac{S_{n-1}(1+Y_n)}{b_{n-1}} \left\{ B_{n-1} + B_n - \frac{2}{b_{n-1}} (Y_n - Y_{n-1}) \right\} \\ m_n &= S_n \left\{ B_n + Y_n B_{n+1} - \frac{(1+Y_n)}{b_n} (Y_{n+1} - Y_n) \right\}, & Q_n &= -\frac{S_n(1+Y_n)}{b_n} \left\{ B_n + B_{n+1} - \frac{2}{b_n} (Y_{n+1} - Y_n) \right\} \end{aligned} \quad (5)$$

上式における記号 S_n, Y_n などの意味は文献4)を参照されたい。

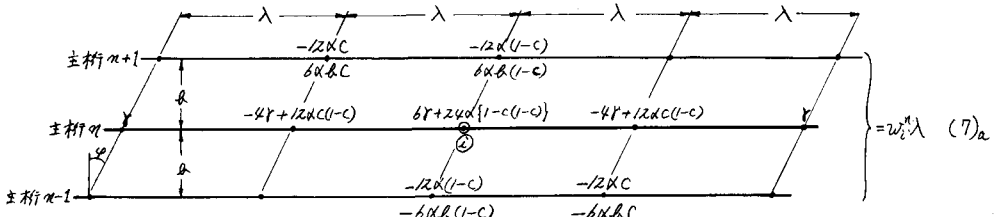
3. 差分式表示

主析 n の差分点 i のたわみおよびねじり角をそれぞれ ψ_i^n, θ_i^n と表わせば次の差分式がえられる。

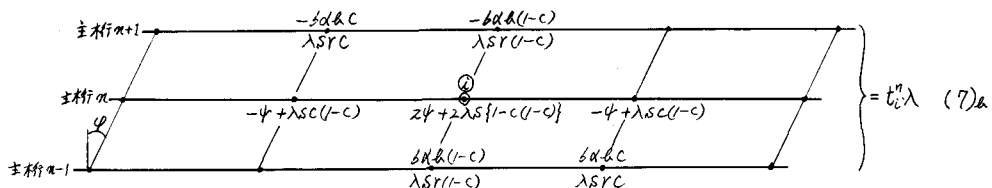
$$\frac{d\psi_i^n}{dx} = \frac{1}{\lambda} (Y_{i-2}'' - 4Y_{i-1}'' + 6Y_i'' - 4Y_{i+1}'' + Y_{i+2}''), \quad \frac{d\theta_i^n}{dx} = \frac{1}{\lambda} (B_{i-1}'' - 2B_i'' + B_{i+1}'') \quad (6)$$

式 (5), (6) を基礎方程式 (1), (4) に代入のうえ整理すれば、 ψ_i^n および θ_i^n ($n=1, 2, 3, \dots, N$, $i=1, 2, 3, \dots, M+1$) を未知数とする本論の変数差分法の一般式が次のとく導かれ。すなわち、

主析 n の i 点に作用する鉛直荷重 w_i^n に対する方程式 (1) より



主析 n の i 点に作用するねじりモーメント荷重 t_i^n に対する方程式 (4) より



ただし、式 (7)_a, b は $b_n = b_{n-1}$ の場合を示し、簡単のため各断面諸量の脚字 $n-1$ および n を省略のうえ、 $C = \frac{\theta}{\lambda} \tan \psi$, $\delta = \frac{EI}{\lambda^3}$, $\alpha = \frac{S(1+\nu)}{b_n^2} \lambda$, $\beta = \frac{GJ}{\lambda}$ なる置き換えを行ふ。各差分点の上、下の値はそれぞれ変数 ψ および θ の係数を表す。

4. 境界条件の処理

本法にはり理論と用いるゆえ、直交異方性板理論におけるごとく自由辺の境界条件と用い \mathbf{z} imaginary point を消去する操作を一切必要とせず、常に支点における主桁の支持条件のみを考慮すればよい。この取り扱いは差分法に関する多くの文献に既知であり、ここでは記述を省略するが、本法によれば板理論では取り扱えない支点のねじり拘束の影響を容易に考慮できることを特記する。

5. 計算例

図-4のような合成4主桁斜橋($\gamma = 45^\circ$)の模型について主桁を8分割して変形および応力の解析を行い、同一断面、同一スパンの直橋との比較を併せて、かかる構架の力学的特性を吟味した。材料はアクリル樹脂で弾性係数を $E = 3 \times 10^4 \text{ kg/cm}^2$, $G = 1.1 \times 10^4 \text{ kg/cm}^2$ とする。図-5は主桁端部のねじり角を拘束した場合(a)としない場合(b)の支点B近傍の主桁ねじりモーメントの影響面と比較したものである。図-6は端主桁 $A_1 A_2$ の中点における曲げモーメント影響面(主桁のねじり無拘束)を示す。図-7は主桁中点の曲げモーメント影響線と直橋および単純ねり理論と比較して図-8に示す。図-8は支点 A_2 の反力影響面で、他の支点 A_1, B_1, A_2, B_2 の反力影響線と直橋および単純ねり理論と比較して図-9に示す。表-1は主桁の差分点の増加による解の収束の様子を直橋について示したものである。

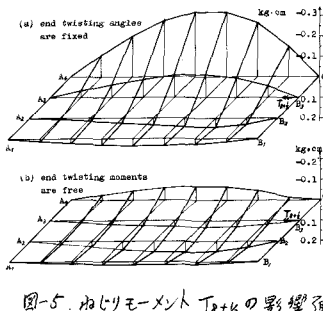


図-5. ねじりモーメント T_{0+1} の影響面

表-1. 分割数の増加による解の収束(直橋の影響線係数)

影響線 分割数	主桁1の中点				主桁2の中点			
	4	6	8	10	4	6	8	10
載荷点のたわみ	0.1242	0.1171	0.1145	0.1133	0.0768	0.0727	0.0712	0.0704
載荷点のねじりモーメント	11.92	12.09	12.15	12.18	7.91	8.27	8.40	8.45
載荷前の支点反力	0.36304	0.3613	0.3608	0.3605	0.1890	0.1823	0.1799	0.1788

参考文献 1) 成岡・国吉監訳：橋子析と直交異方性板の計算。共立出版、昭和44年12月。

2) M. Naroka and H. Ohmura : On the Analysis of a Skew Girder Bridge by the Theory of Anisotropic Parallelogram Plates. IABSE Publications Vol. 19 1959年。

3) A. Ghali : Analysis of Continuous Skew Concrete Girder Bridges. Proc. of the 1st Int. Symp. on Concrete Bridge Design ACI publication SP-23 4) 村上、吉村：構造力学。コロナ社、昭和32年7月

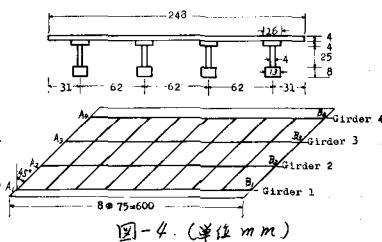


図-4. (単位 mm)

図-8. 支点 A_2 の反力影響面

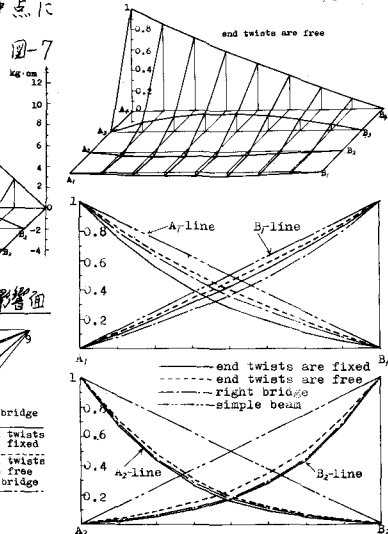


図-7. 主桁中点の曲げモーメント影響線

図-9. 支点反力影響線